

doi: 10.13241/j.cnki.pmb.2024.17.003

汉黄芩素调节 AMPK/NLRP3 信号通路 对 H/R 诱导的心肌细胞凋亡的影响 *

李均 徐艺冉 阳徐刚 王均生

(重庆市急救医疗中心(重庆市第四人民医院 / 重庆大学附属中心医院)心血管内科 重庆 400014)

摘要 目的:探讨汉黄芩素(WOG)调节单磷酸腺苷活化蛋白激酶(AMPK)/NOD 样受体蛋白 3(NLRP3)信号通路对缺氧 / 再氧合(H/R)诱导的心肌细胞凋亡的影响。**方法:**将 H9C2 细胞分为 Control 组(正常培养)、H/R 组(H/R 诱导)、L(低剂量)-WOG 组、M(中剂量)-WOG 组、H(高剂量)-WOG 组(在 H/R 诱导的基础上分别加入 40、80、120 μmol/L 的 WOG)、WOG+Compound C 组(在 H-WOG 组基础上加入 10 μmol/L AMPK 抑制剂 Compound C)。噻唑蓝(MTT)法和 5-乙炔基-2' 脱氧尿嘧啶核苷(EdU)染色检测 WOG 对 H9C2 细胞增殖的影响;流式细胞术检测 WOG 对 H9C2 细胞凋亡的影响;酶联免疫吸附试验(ELISA)检测 H9C2 细胞血清氧化应激指标[丙二醛(MDA)、活性氧类物质(ROS)、超氧化物歧化酶(SOD)]和炎症因子[白介素(IL)-1β、IL-18]水平;蛋白免疫印迹(WB)法检测 H9C2 细胞 AMPK、NLRP3、B 细胞淋巴瘤-2(Bcl-2)、Bcl-2 相关 X 蛋白(Bax)蛋白表达。**结果:**H/R 组 H9C2 细胞的光密度值(OD₄₉₀)、EdU 阳性细胞率、SOD、AMPK、Bcl-2 低于 Control 组, 细胞凋亡率、IL-1β、IL-18、ROS、MDA、NLRP3、Bax 高于 Control 组($P<0.05$);与 H/R 组比较,L-WOG 组、M-WOG 组、H-WOG 组 OD₄₉₀、EdU 阳性细胞率、SOD、AMPK、Bcl-2 表达升高, 细胞凋亡率、IL-1β、IL-18、ROS、MDA、NLRP3、Bax 降低($P<0.05$);WOG+Compound C 组 OD₄₉₀、EdU 阳性细胞率、SOD、AMPK、Bcl-2 低于 H-WOG 组, 细胞凋亡率、IL-1β、IL-18、ROS、MDA、NLRP3、Bax 表达高于 H-WOG 组($P<0.05$)。**结论:**WOG 可以抑制 H/R 诱导的心肌细胞凋亡, 其机制可能是通过介导 AMPK/NLRP3 信号通路有关。

关键词: 黄芩素;AMPK/NLRP3 信号通路;心肌细胞;细胞凋亡

中图分类号:R-33;R542.22 文献标识码:A 文章编号:1673-6273(2024)17-3211-06

Effect of Wogonin on H/R Induced Cardiomyocyte Apoptosis by Regulating the AMPK/NLRP3 Signaling Pathway*

LI Jun, XU Yi, RAN Yang, XU Gang, WANG Jun-sheng

(Department of Cardiovascular Medicine, Chongqing Emergency Medical Center

(Chongqing Fourth People's Hospital/Chongqing University Central Hospital), Chongqing, 400014, China)

ABSTRACT Objective: To investigate the effect of wogonin (WOG) on hypoxia/reoxygenation (H/R)-induced cardiomyocyte apoptosis by regulating adenosine monophosphate-activated protein kinase (AMPK)/NOD-like receptor protein 3 (NLRP3) signaling pathway. **Methods:** H9C2 cells were divided into Control group (normal culture), H/R group (H/R induction), L (low dose)-WOG group, M (medium dose)-WOG group, H (high dose)-WOG group (40, 80, 120 μmol/L WOG were added on the basis of H/R induction), WOG+Compound C group (10 μmol/L AMPK inhibitor Compound C was added on the basis of H-WOG group). The effect of WOG on the proliferation of H9C2 cells was detected by methyl thiazolyl tetrazolium (MTT) assay and 5-ethynyl-2'-deoxyuridine (EdU) staining. The effect of WOG on apoptosis of H9C2 cells was detected by flow cytometry. The levels of serum oxidative stress indexes [malondialdehyde (MDA), reactive oxygen species (ROS), superoxide dismutase (SOD)] and inflammatory factors [interleukin (IL)-1β, IL-18] in H9C2 cells were detected by enzyme-linked immunosorbent assay (ELISA). The expression of AMPK, NLRP3, B cell lymphoma-2 (Bcl-2) and Bcl-2 associated X protein (Bax) in H9C2 cells was detected by Western blot (WB). **Results:** The optical density (OD₄₉₀), EdU positive cell rate, SOD, AMPK and Bcl-2 of H9C2 cells in H/R group were lower than those in Control group, and the apoptosis rate, IL-1β, IL-18, ROS, MDA, NLRP3 and Bax were higher than those in Control group ($P<0.05$). Compared with H/R group, OD₄₉₀, EdU positive cell rate, SOD, AMPK and Bcl-2 expression in L-WOG group, M-WOG group and H-WOG group increased, while apoptosis rate, IL-1β, IL-18, ROS, MDA, NLRP3 and Bax decreased ($P<0.05$). The OD₄₉₀, EdU positive cell rate, SOD, AMPK and Bcl-2 in WOG+Compound C group were lower than those in H-WOG group, and the apoptosis rate, IL-1β, IL-18, ROS, MDA, NLRP3 and Bax expression were higher than those in H-WOG group ($P<0.05$). **Conclusion:** WOG can inhibit H/R-induced cardiomyocyte apoptosis, which may be relate to the AMPK/NLRP3 signaling pathway.

* 基金项目:重庆市自然科学基金面上项目(cstc2021jcyj-msxmX1061)

作者简介:李均(1977-),男,硕士,副主任医师,研究方向:心血管病学,E-mail: luck_ljun@163.com

(收稿日期:2024-02-28 接受日期:2024-03-23)

Key words: Wogonin; AMPK/NLRP3 signaling pathway; Cardiomyocyte; Apoptosis

Chinese Library Classification(CLC): R-33; R542.22 Document code: A

Article ID: 1673-6273(2024)17-3211-06

前言

急性心肌梗死(AMI)是世界范围内常见的心血管疾病,是由心肌组织缺血引起,而心肌缺血是由于心肌代谢需求增加、冠状动脉循环向心肌组织供氧减少(缺氧)、营养物质减少导致^[1]。冠状动脉梗死再灌注可恢复血流和供氧,是AMI最有效的治疗方法。然而再灌注治疗也会导致进一步的细胞和组织损伤,这种情况称为缺氧/再氧合(H/R)损伤^[2]。H/R损伤的心肌细胞在AMI发生过程中发生炎症反应,进一步加重心肌损伤。研究表明,细胞凋亡、氧化应激、炎症反应在AMI发病机制中发挥重要作用^[3]。汉黄芩素(WOG)是黄芩根中提取的黄酮类化合物,具有抗炎、抗凋亡、抗氧化等作用,研究表明WOG可通过改善高脂饮食诱导的肥胖小鼠的心肌脂质代谢,减轻心肌细胞焦亡,进而减轻心脏损伤^[4]。单磷酸腺苷活化蛋白激酶(AMPK)在内皮细胞、骨骼肌、肝脏、大脑等多种细胞和组织中表达,在维持能量稳态、保护内皮细胞功能、调节细胞自噬、氧化应激等方面发挥重要作用,在当机体发生缺血或缺氧时,AMPK可激活促进血管生成^[5]。NOD样受体蛋白3(NLRP3)是一种胞质多蛋白复合物,当机体受到微生物感染、内源性危险信号和环境刺激时被激活,AMPK可以抑制NLRP3炎性小体的激活,在调节H/R诱导的心肌细胞焦亡、损伤中发挥重要作用^[6]。本研究探讨WOG对H/R诱导的心肌细胞凋亡的影响及其作用机制,现报道如下。

1 材料与方法

1.1 材料及仪器来源

大鼠心肌细胞H9C2(货号:BJ-X1131,上海邦景实业有限公司);WOG[货号:53050ES10,翌圣生物科技(上海)股份有限公司];AMPK抑制剂Compound C(货号:8666430,上海研卉生物科技有限公司);噻唑蓝(MTT)细胞增殖检测试剂盒(货号:JC-A78381,上海机纯实业有限公司);5-乙炔基-2'脱氧尿嘧啶核苷(EdU)法细胞增殖检测试剂盒(货号:KFS329-NCQ,北京百奥莱博科技有限公司);丙二醛(MDA)、活性氧类物质(ROS)、超氧化物歧化酶(SOD)、白介素(IL)-1β、IL-18酶联免疫吸附测定(ELISA)(货号:KS11466、KS13783、KS10400、KS12749、KS10711,上海科顺生物科技有限公司);总蛋白提取试剂盒、二喹啉甲酸法(BCA)蛋白定量试剂盒(货号:BB-3101、BB-3401,上海贝博生物科技有限公司);辣根过氧化物酶(HRP)、AMPK、NLRP3、B细胞淋巴瘤-2(Bcl-2)、Bcl-2相关X蛋白(Bax)、甘油醛-3-磷酸脱氢酶(GAPDH)(货号:ab6802、ab32047、ab270449、ab241548、ab243140、ab128915,英国Abcam公司);无糖DMEM培养基、含糖DMEM培养基(货号:A1443001、10569010,美国赛默飞世尔公司);多功能酶联免疫分析仪(型号:Feyond A300,杭州奥盛仪器有限公司);流式细胞仪[型号:ZS-AE7S,中生(苏州)医疗科技有限公司]。

1.2 方法

1.2.1 细胞培养与分组 H/R模型的构建^[7]:将H9C2细胞于无糖DMEM培养基中培养,并置于37℃下厌氧培养箱[95%氮气(N₂)和5%二氧化碳(CO₂)]中培养4 h,将H9C2细胞至于含有4.5 mm葡萄糖的DMEM中培养,并在37℃的正常培养箱[95%氧气(O₂)和5%CO₂]中培养24 h,构建H/R模型。将H9C2细胞分为Control组(正常培养)、H/R组(H/R诱导)、L(低剂量)-WOG组、M(中剂量)-WOG组、H(高剂量)-WOG组(在H/R诱导的基础上分别加入40、80、120 μmol/L的WOG^[8])、WOG+Compound C组(在H-WOG组基础上加入10 μmol/L AMPK抑制剂Compound C^[9])。每组实验重复3次。

1.2.2 WOG对H9C2细胞增殖的影响 MTT法:将H9C2细胞以1.5×10³个细胞/孔接种于96孔板培养12 h后,每孔加入10 μL1.0 mg/mL的MTT溶液,在37℃、5%CO₂孵育4 h,慢摇混合10 min,采用多功能酶联免疫分析仪在490 nm处测量吸光度。EdU染色:以5×10³个/孔将H9C2细胞接种于96孔板中,加入50 μL EdU孵育2 h,固定染色后,于荧光显微镜下观察,计算EdU阳性细胞比例。

1.2.3 WOG对H9C2细胞凋亡的影响 将H9C2细胞以5×10⁴个细胞/孔接种于12孔板,收集H9C2细胞重悬后,加入FITC-Annexin V/PI染色20 min,在室温下避光孵育15 min,用流式细胞仪进行分析。

1.2.4 ELISA法检测H9C2细胞血清氧化应激指标(MDA、ROS、SOD)和炎症因子(IL-1β、IL-18)水平 收集各组H9C2细胞,按照MDA、ROS、SOD、IL-1β、IL-18 ELISA试剂盒操作说明书检测H9C2细胞中MDA、ROS、SOD、IL-1β、IL-18的水平。

1.2.5 蛋白免疫印迹(WB)法检测H9C2细胞AMPK、NLRP3、Bcl-2、Bax蛋白表达 采用总蛋白提取试剂盒从H9C2细胞中提取总蛋白,采用BCA试剂盒检测蛋白浓度,用12%的十二烷基磺酸钠/聚丙烯酰胺凝胶电泳(SDS/PAGE)分离等量的蛋白质(30 μg),然后转移到聚偏氟乙烯(PVDF)膜上,用5%脱脂牛奶封闭膜1 h,用一抗AMPK(1:1000)、NLRP3(1:1000)、Bcl-2(1:1000)、Bax(1:500)、GAPDH(1:10000)在4℃下过夜,之后,用二抗(1:1000)孵育1 h,使用增强型化学发光系统对蛋白带进行可视化,使用Image J软件进行分析。

1.3 统计学方法

数据采用SPSS 26.0软件进行分析。计量资料(AMPK、NLRP3蛋白表达等)以均值±标准差($\bar{x} \pm s$)表示,多组间比较采用单因素方差分析,两组间比较采用SNK-q检验。 $P < 0.05$ 表示有统计学意义。

2 结果

2.1 WOG对H/R诱导的H9C2细胞增殖的影响

H/R组H9C2细胞的光密度值(OD₄₉₀)、EdU阳性细胞率低于Control组($P < 0.05$);与H/R组比较,L-WOG组、M-WOG组、H-WOG组OD₄₉₀、EdU阳性细胞率升高($P < 0.05$);

WOG+Compound C 组 OD₄₉₀、EdU 阳性细胞率低于 H-WOG 组 ($P<0.05$)。见图 1、表 1。

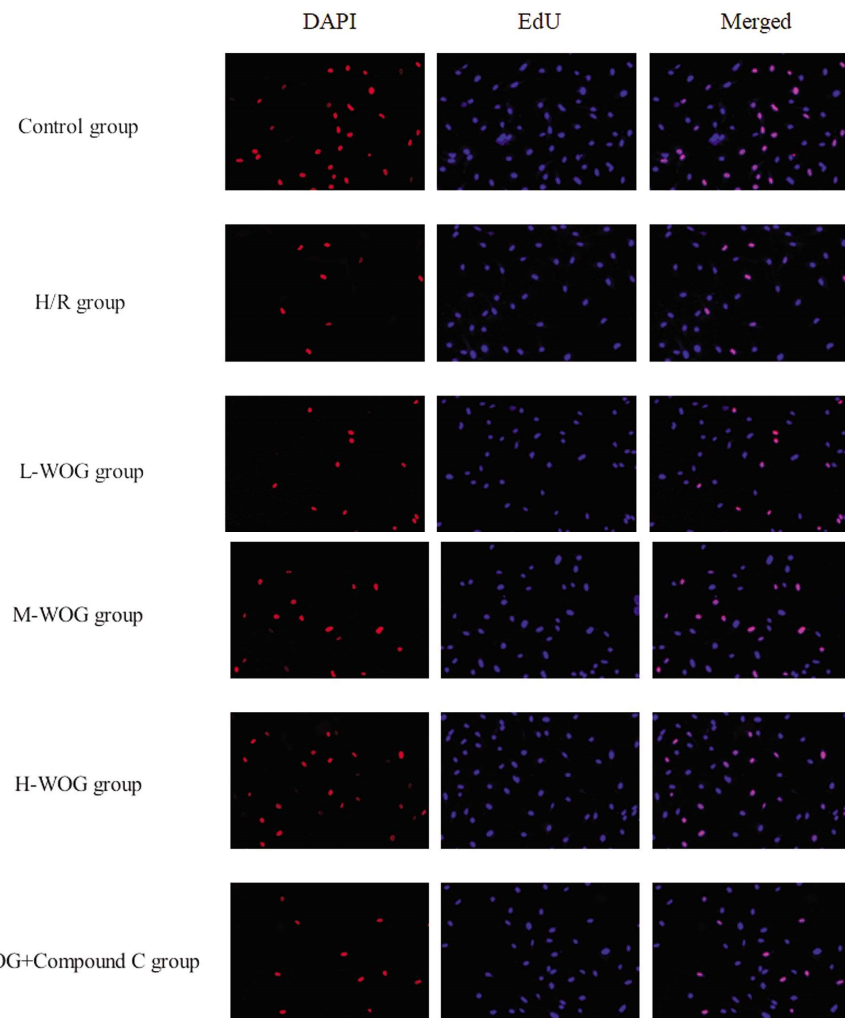


图 1 EdU 染色观察 H9C2 细胞增殖

Fig. 1 The proliferation of H9C2 cells was observed by EdU staining

表 1 WOG 对 H/R 诱导的 H9C2 细胞增殖的影响($\bar{x}\pm s$, n=6)
Table 1 Effect of WOG on H/R-induced H9C2 cell proliferation($\bar{x}\pm s$, n=6)

Groups	OD ₄₉₀	EdU positive cell rate(%)
Control group	1.46±0.15	45.31±4.60
H/R group	0.33±0.11 ^a	16.28±2.52 ^a
L-WOG group	0.64±0.12 ^b	25.34±3.07 ^b
M-WOG group	0.91±0.13 ^{bc}	33.19±3.89 ^{bc}
H-WOG group	1.25±0.14 ^{bcd}	42.96±4.44 ^{bcd}
WOG+Compound C group	0.58±0.11 ^c	23.01±2.73 ^c

Note: Compared with Control group, ^a $P<0.05$; Compared with H/R group, ^b $P<0.05$; Compared with L-WOG group, ^c $P<0.05$; Compared with M-WOG group, ^d $P<0.05$; Compared with H-WOG group, ^e $P<0.05$.

2.2 WOG 对 H/R 诱导的 H9C2 细胞凋亡的影响

H/R 组 H9C2 细胞的凋亡率高于 Control 组 ($P<0.05$)；与 H/R 组比较，L-WOG 组、M-WOG 组、H-WOG 组凋亡率降低 ($P<0.05$)；WOG+Compound C 组凋亡率高于 H-WOG 组 ($P<0.05$)。见图 2、表 2。

2.3 WOG 对 H/R 诱导的 H9C2 细胞中 IL-1 β 、IL-18 表达的影响

H/R 组 H9C2 细胞中 IL-1 β 、IL-18 表达高于 Control 组

($P<0.05$)；与 H/R 组比较，L-WOG 组、M-WOG 组 IL-1 β 、IL-18 表达降低 ($P<0.05$)；WOG+Compound C 组 IL-1 β 、IL-18 表达高于 H-WOG 组 ($P<0.05$)。见表 3。

2.4 WOG 对 H/R 诱导的 H9C2 细胞 MDA、ROS、SOD 表达的影响

H/R 组 H9C2 细胞 ROS、MDA 高于 Control 组，SOD 低于 Control 组 ($P<0.05$)；与 H/R 组比较，L-WOG 组、M-WOG 组、

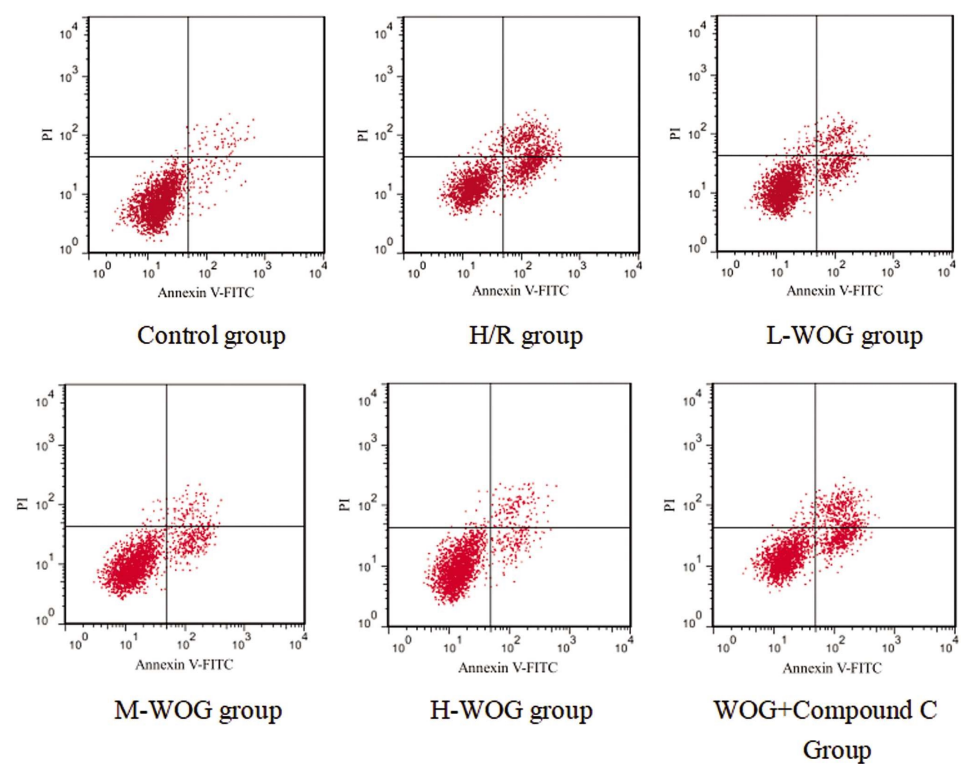


图 2 流式细胞仪检测 H9C2 细胞凋亡

Fig. 2 Apoptosis of H9C2 cells detected by flow cytometry

表 2 WOG 对 H/R 诱导的 H9C2 细胞凋亡的影响($\bar{x} \pm s$, n=6)Table 2 Effects of WOG on H/R-induced apoptosis of H9C2 cells($\bar{x} \pm s$, n=6)

Groups	Apoptosis rate(%)
Control group	2.39±0.82
H/R group	47.90±4.79 ^a
L-WOG group	35.46±3.57 ^b
M-WOG group	22.17±2.78 ^{bc}
H-WOG group	10.35±2.46 ^{bcd}
WOG+Compound C group	40.52±3.82 ^c

Note: Compared with Control group, ^aP<0.05; Compared with H/R group, ^bP<0.05; Compared with L-WOG group, ^cP<0.05; Compared with M-WOG group, ^dP<0.05; Compared with H-WOG group, ^eP<0.05.

表 3 WOG 对 H/R 诱导的 H9C2 细胞中 IL-1 β 、IL-18 表达的影响($\bar{x} \pm s$, n=6)Table 3 Effects of WOG on the expression of IL-1 β and IL-18 in H/R-induced H9C2 cells($\bar{x} \pm s$, n=6)

Groups	IL-1 β (pg/mL)	IL-18(pg/mL)
Control group	29.17±6.25	47.96±14.70
H/R group	117.36±12.09 ^a	190.17±19.85 ^a
L-WOG group	83.08±11.34 ^b	136.48±18.01 ^b
M-WOG group	54.51±9.82 ^{bc}	93.72±16.59 ^{bc}
H-WOG group	36.29±8.31 ^{bcd}	58.28±15.32 ^{bcd}
WOG+Compound C group	96.48±10.27 ^c	168.33±17.28 ^c

Note: Compared with Control group, ^aP<0.05; Compared with H/R group, ^bP<0.05; Compared with L-WOG group, ^cP<0.05; Compared with M-WOG group, ^dP<0.05; Compared with H-WOG group, ^eP<0.05.

H-WOG 组 ROS、MDA 降低, SOD 升高($P<0.05$); WOG+Compound C 组 ROS、MDA 高于 H-WOG 组, SOD 低于 H-WOG 组 ($P<0.05$)。见表 4。

2.5 WOG 对 H/R 诱导的 H9C2 细胞 AMPK、NLRP3、Bcl-2、Bax 表达的影响

H/R 组 NLRP3、Bax 高于 Control 组, AMPK、Bcl-2 低于 Control 组 ($P < 0.05$)；与 H/R 组比较, L-WOG 组、M-WOG

组、H-WOG 组 NLRP3、Bax 降低, AMPK、Bcl-2 升高 ($P < 0.05$)；WOG+Compound C 组 NLRP3、Bax 高于 H-WOG 组, AMPK、Bcl-2 低于 H-WOG 组 ($P < 0.05$)。见图 3、表 5。

表 4 WOG 对 H/R 诱导的 H9C2 细胞 MDA、ROS、SOD 表达的影响($\bar{x} \pm s, n=6$)

Table 4 Effects of WOG on the expression of MDA, ROS and SOD in H9C2 cells induced by H/R ($\bar{x} \pm s, n=6$)

Groups	MDA(nmol/mL)	ROS(U/mL)	SOD(U/mL)
Control group	4.36±1.24	84.85±22.46	239.05±24.04
H/R group	73.25±8.07 ^a	269.71±27.38 ^a	64.28±19.47 ^a
L-WOG group	56.39±7.36 ^b	207.24±26.59 ^b	102.33±21.15 ^b
M-WOG group	25.18±5.47 ^{bc}	155.43±24.38 ^{bc}	145.54±22.32 ^{bc}
H-WOG group	11.24±2.59 ^{bcd}	99.82±23.17 ^{bcd}	189.76±23.13 ^{bcd}
WOG+Compound C group	60.28±6.21 ^c	244.74±25.32 ^c	88.09±20.59 ^c

Note: Compared with Control group, ^a $P < 0.05$; Compared with H/R group, ^b $P < 0.05$; Compared with L-WOG group, ^c $P < 0.05$; Compared with M-WOG group, ^d $P < 0.05$; Compared with H-WOG group, ^e $P < 0.05$.

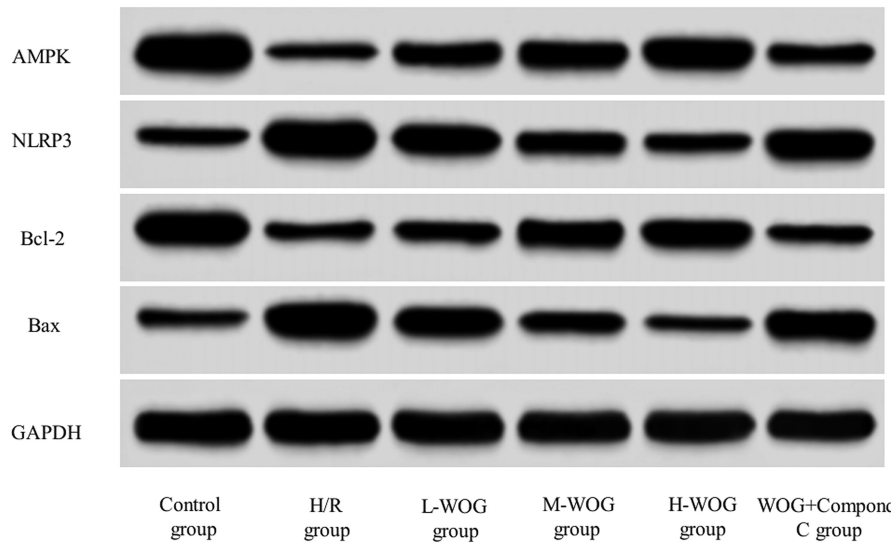


图 3 WB 检测 H9C2 细胞中 AMPK、NLRP3、Bcl-2、Bax 蛋白表达

Fig. 3 Expression of AMPK, NLRP3, Bcl-2 and Bax proteins in H9C2 cells was detected by WB

表 5 WOG 对 H/R 诱导的 H9C2 细胞 AMPK、NLRP3、Bcl-2、Bax 的影响($\bar{x} \pm s, n=6$)

Table 5 Effects of WOG on AMPK, NLRP3, Bcl-2 and Bax in H9C2 cells induced by H/R ($\bar{x} \pm s, n=6$)

Groups	AMPK	NLRP3	Bcl-2	Bax
Control group	1.33±0.14	0.33±0.11	1.18±0.16	0.25±0.08
H/R group	0.29±0.09 ^a	1.29±0.16 ^a	0.34±0.11 ^a	1.21±0.13 ^a
L-WOG group	0.53±0.11 ^b	0.98±0.14 ^b	0.58±0.13 ^b	0.93±0.11 ^b
M-WOG group	0.74±0.12 ^{bc}	0.67±0.13 ^{bc}	0.81±0.14 ^{bc}	0.68±0.10 ^{bc}
H-WOG group	1.08±0.13 ^{bcd}	0.41±0.12 ^{bcd}	1.07±0.15 ^{bcd}	0.36±0.09 ^{bcd}
WOG+Compound C group	0.41±0.10 ^e	1.13±0.15 ^e	0.48±0.12 ^e	1.07±0.12 ^e

Note: Compared with Control group, ^a $P < 0.05$; Compared with H/R group, ^b $P < 0.05$; Compared with L-WOG group, ^c $P < 0.05$; Compared with M-WOG group, ^d $P < 0.05$; Compared with H-WOG group, ^e $P < 0.05$.

3 讨论

AMI 已成为危害人类健康和生命的重大疾病之一, AMI

的发生风险受到多种因素如高血压、吸烟、冠状动脉疾病家族史以及艾滋病病毒、系统性红斑狼疮、阻塞性睡眠呼吸暂停等因素的影响^[10,11]。尽管近年对于 AMI 的药物治疗和介入技术研

究取得了一定进展,例如溶栓治疗、经皮冠状动脉介入治疗等干预措施可以迅速恢复缺血心肌的血液循环,限制心肌梗死的大小,还可避免心肌衰竭的发生。然而中断的血流恢复可能导致额外的心脏损伤和并发症,特别是心肌细胞的死亡,造成H/R损伤^[12]。据报道,ROS的过度积累与H/R损伤的发病机制有关,缺血期间ROS水平较低,血流再灌注时由于氧气回流导致ROS急剧上升,过量ROS可导致心肌细胞广泛的氧化损伤,促进炎症,加速心肌细胞凋亡^[13]。本研究发现,H/R诱导导致心肌细胞增殖能力下降,凋亡率升高,炎症因子和氧化应激指标水平升高,提示在H/R导致心肌细胞的氧化应激、炎症反应、心肌细胞凋亡增加,可能是AMI发生的重要原因。

WOG是中药黄芩活性成分之一,存在于黄芩的不同部位,具有抗炎、抗氧化以及抗肿瘤的作用^[14,15]。Shi等^[16]发现,WOG通过抑制人和大鼠心肌细胞的氧化应激,显著改善血管紧张素Ⅱ诱导的心肌细胞肥大,并改善横主动脉收缩小鼠的心脏肥厚,可作为治疗心肌肥大的抗氧化剂。Xu等^[17]发现,WOG通过调节心肌细胞中的消皮素D蛋白减少顺铂诱导的袭击细胞焦亡,在体内可防止顺铂诱导的心功能障碍、心肌损伤、细胞焦亡,在减轻顺铂引起的心脏毒性方面具有较大的潜力。Wei等^[18]发现,WOG通过抑制线粒体细胞色素c的释放,减少天冬氨酸蛋白水解酶(caspase)激活引起的心肌细胞凋亡,从而保护大鼠心脏免受阿霉素损伤。Bei等^[19]发现,WOG可降低心肌梗死大小、心脏损伤因子、MDA、炎症因子的蛋白,对异丙肾上腺素诱导的心肌损伤具有强大的心脏保护活性。本研究发现,WOG可以抑制H/R诱导的氧化应激、炎症反应、心肌细胞凋亡,提示WOG可能通过抑制的氧化应激、炎症反应、心肌细胞凋亡进而抑制AMI的进展,提示WOG可作为治疗AMI的潜在药物。

AMPK是一种综合代谢传感器,在细胞水平上维持能量平衡,并协调组织间代谢信号传导,NLRP3炎症小体是先天免疫系统的关键组成部分,可介导 caspase-1 激活和促炎细胞因子 IL-1β、IL-18 的分泌^[20,21]。研究发现,NLRP3 在 AMI 发生期间在心脏中积聚,并促进心肌损伤和细胞凋亡,而 AMPK 可抑制 NLRP3 的炎症反应^[6]。Zhang 等^[22]发现,C1q 肿瘤坏死因子相关蛋白 9(CTRP9)可下调低密度脂蛋白活化巨噬细胞中 NLRP3 蛋白的表达,抑制 AMPK 则显著恢复 NLRP3 炎症小体的活性,CTRP9 可通过 AMPK/NLRP3 通路发挥对动脉粥样硬化保护功能。Yao 等^[23]发现,催产素通过 AMPK/NLRP3 信号通路提高了 H/R 后的细胞活力,并降低细胞凋亡、IL-18、IL-1β、NLRP3 水平以及细胞焦亡相关蛋白的表达,进而减轻高血糖心肌 I/R 损伤。Wang 等^[24]发现,龙胆苦苷通过激活 AMPK 抑制 NLRP3 炎性小体信号,减弱 H/R 诱导袭击的细胞死亡、ROS 产生、乳酸脱氢酶和 MDA 释放以及抗氧化应激酶 SOD 活性,促炎细胞因子白细胞 IL-6 和肿瘤坏死因子-α的转录和释放,在体内,龙胆苦苷能减轻 H/R 大鼠心脏结构异常、心肌细胞凋亡、心功能障碍,进而减轻 H/R 导致的心肌梗死和随后的心血管疾病。张晓蕾等^[25]发现,木犀草素通过激活 AMPK/NLRP3 信号通路,促进心肌细胞焦亡,对病毒心肌炎小鼠心肌发挥保护作用。本研究发现,H/R 诱导心肌细胞中 AMPK 低表达,NLRP3 高表

达,而 WOG 以浓度依赖的方式诱导 AMPK 高表达,抑制 NL RP3 表达,而 AMPK 抑制剂则可以逆转 WOG 对 AMPK/NLRP3 通路蛋白和心肌细胞增殖、凋亡的影响,提示 WOG 可能通过介导 AMPK/NLRP3 信号通路抑制 H/R 诱导的心肌细胞凋亡,进而抑制 AMI 的进展。

综上所述,WOG 可以抑制 H/R 诱导的心肌细胞凋亡,其机制可能是介导 AMPK/NLRP3 信号通路实现的。本实验局限于 AMPK/NLRP3 信号通路相关因子且仅在细胞水平上进行验证,后期需完善实验方案继续研究。

参考文献(References)

- Geng H, Chen L, Su Y, et al. miR-431-5p regulates apoptosis of cardiomyocytes after acute myocardial infarction via targeting selenoprotein T[J]. Physiol Res, 2022, 71(1): 55-62.
- Wang S, Cheng Z, Chen X, et al. CircUBXN7 mitigates H/R-induced cell apoptosis and inflammatory response through the miR-622-MCL1 axis[J]. Am J Transl Res, 2021, 13(8): 8711-8727.
- Hu X, Ma R, Cao J, et al. CircSAMD4A aggravates H/R-induced cardiomyocyte apoptosis and inflammatory response by sponging miR-138-5p[J]. J Cell Mol Med, 2022, 26(6): 1776-1784.
- Zhou C, Yin X. Wogonin Ameliorated Obesity-Induced Lipid Metabolism Disorders and Cardiac Injury via Suppressing Pyroptosis and Deactivating IL-17 Signaling Pathway[J]. Am J Chin Med, 2022, 50(6): 1553-1564.
- Chen M H, Fu Q M. The Roles of AMPK in Revascularization [J]. Cardiol Res Pract, 2020, 1(2): 4028635-4028645.
- Zhang J, Huang L, Shi X, et al. Metformin protects against myocardial ischemia-reperfusion injury and cell pyroptosis via AMPK/NLRP3 inflammasome pathway[J]. Aging (Albany NY), 2020, 12(23): 24270-24287.
- 韩兆丰,于艳,吴振起,等.茅苍术及其麸炒品水提物对H/R诱导H9c2心肌细胞损伤的保护作用[J].中华中医药学刊,2021,39(8):101-104,后插14.
- 钱云英,钱桂英,顾伟群,等.汉黄芩素调控 lncRNA CDKN2B-AS1 抑制宫颈癌细胞生长[J].中国优生与遗传杂志,2023,31(3): 571-574.
- 段沛言,刘艺,林心怡,等.细胞外基质硬度通过 AMPK 调控干细胞线粒体的形态异质性[J].四川大学学报(医学版),2024,55(1): 47-52.
- Krittawong C, Khawaja M, Tamis-Holland J E, et al. Acute Myocardial Infarction: Etiologies and Mimickers in Young Patients [J]. J Am Heart Assoc, 2023, 12(18): 29971-29981.
- Isgut M, Sun J, Quyyumi A A, et al. Highly elevated polygenic risk scores are better predictors of myocardial infarction risk early in life than later[J]. Genome Med, 2021, 13(1): 13-28.
- Liu X J, Lv Y F, Cui W Z, et al. Icariin inhibits hypoxia/reoxygenation-induced ferroptosis of cardiomyocytes via regulation of the Nrf2/HO-1 signaling pathway [J]. FEBS Open Bio, 2021, 11(11): 2966-2976.
- Zhou F, Feng T, Lu X, et al. Interleukin 35 protects cardiomyocytes following ischemia/reperfusion-induced apoptosis via activation of mitochondrial STAT3 [J]. Acta Biochim Biophys Sin (Shanghai), 2021, 53(4): 410-418.

(下转第 3225 页)

- between the Gi/Go-coupled delta-opioid receptor and the Gq-coupled m₃ muscarinic receptor at the level of intracellular free calcium in SH-SY5Y cells[J]. Journal of neurochemistry, 2001, 76(6): 1688-700.
- [31] Corriden R, Insel PA. Basal release of ATP: an autocrine-paracrine mechanism for cell regulation[J]. Science signaling, 2010, 3(104): re1
- [32] Zhang YV, Ormerod KG, Littleton JT. Astrocyte Ca²⁺ Influx Negatively Regulates Neuronal Activity[J]. eNeuro, 2017, 4(2): 0340-0416.
- [33] Gomez LC, Kawaguchi SY, Collin T, et al. Influence of spatially segregated IP₃-producing pathways on spike generation and transmitter release in Purkinje cell axons[J]. Proc Natl Acad Sci U S A, 2020, 117(20): 11097-11108.
- [34] Malko P, Jia X, Wood I, et al. Piezo1 channel-mediated Ca²⁺ signaling inhibits lipopolysaccharide-induced activation of the NF-κB inflammatory signaling pathway and generation of TNF-α and IL-6 in microglial cells[J]. Glia, 2023, 71(4): 848-865.
- [35] Nayak SU, Cicalese S, Tallarida C, et al. Chemokine CCR5 and cocaine interactions in the brain: Cocaine enhances mesolimbic CCR5 mRNA levels and produces place preference and locomotor activation that are reduced by a CCR5 antagonist [J]. Brain behavior and immunity, 2020, 34(1): 288-292.
- [36] Shahzadi A, Uskur T, Akkan AG, et al. Effects of propofol on conditioned place preference in male rats: Involvement of nitrenergic system[J]. The American journal of drug and alcohol abuse, 2018, 44(2): 167-174.
- [37] Wu NC, Wang JJ. Ibudilast, a Phosphodiesterase Inhibitor and Toll-Like Receptor-4 Antagonist, Improves Hemorrhagic Shock and Reperfusion-Induced Left Ventricular Dysfunction by Reducing Myocardial Tumor Necrosis Factor α[J]. Transplant Proc, 2020, 52(6): 1869-1874.

(上接第 3216 页)

- [14] Tuli H S, Rath P, Chauhan A, et al. Wogonin, as a potent anticancer compound: From chemistry to cellular interactions [J]. Exp Biol Med (Maywood), 2023, 248(9): 820-828.
- [15] 单慧, 杜胤骁, 白鹤群, 等. 黄芩素的研发进展及其临床药理学[J]. 中国临床药理学与治疗学, 2020, 25(6): 701-708.
- [16] Shi X, Zhang B, Chu Z, et al. Wogonin Inhibits Cardiac Hypertrophy by Activating Nrf-2-Mediated Antioxidant Responses [J]. Cardiovasc Ther, 2021, 1(2): 9995342-995354.
- [17] Xu J, Zhang B, Chu Z, et al. Wogonin Alleviates Cisplatin-induced Cardiotoxicity in Mice Via Inhibiting Gasdermin D-mediated Pyroptosis[J]. J Cardiovasc Pharmacol, 2021, 78(4): 597-603.
- [18] Wei Y, Zhao J, Xiong J, et al. Wogonin reduces cardiomyocyte apoptosis from mitochondrial release of cytochrome c to improve doxorubicin-induced cardiotoxicity [J]. Exp Ther Med, 2022, 23(3): 205-213.
- [19] Bei W, Jing L, Chen N. Cardio protective role of wogonin loaded nanoparticle against isoproterenol induced myocardial infarction by moderating oxidative stress and inflammation [J]. Colloids Surf B Biointerfaces, 2020, 185(1): 110635.
- [20] Zhou Z, Liu Z, Zhang C, et al. Mild hypothermia alleviates early brain injury after subarachnoid hemorrhage via suppressing pyroptosis through AMPK/NLRP3 inflammasome pathway in rats[J]. Brain Res Bull, 2023, 193(1): 72-83.
- [21] 苏婷, 宋晓伟, 史承勇, 等. PRKAG2-AS1 通过 AMPK 抑制缺氧所致心肌细胞凋亡[J]. 现代生物医学进展, 2020, 20(4): 608-613, 677.
- [22] Zhang H, Gong X, Ni S, et al. C1q/TNF-related protein-9 attenuates atherosclerosis through AMPK-NLRP3 inflammasome singling pathway[J]. Int Immunopharmacol, 2019, 77(1): 105934.
- [23] Yao M, Wang Z, Jiang L, et al. Oxytocin ameliorates high glucose- and ischemia/reperfusion-induced myocardial injury by suppressing pyroptosis via AMPK signaling pathway[J]. Biomed Pharmacother, 2022, 153(1): 113498-1134507.
- [24] Wang Y, Sheng Y, Ji N, et al. Gentipicroside enhances the protective effect of trimetazidine against myocardial ischemia-reperfusion injury via the AMPK/NLRP3 inflammasome signaling[J]. J Biochem Mol Toxicol, 2023, 37(7): 23366.
- [25] 张晓蕾, 张凯, 秦永亭, 等. 木犀草素调控 AMPK/NLRP3 轴介导的细胞焦亡对病毒性心肌炎的保护作用 [J]. 中国病原生物学杂志, 2022, 17(5): 514-519.